

اثر ذرات سیلیکا اسنتزی، رزین اورتانی و فلوئوروکربن روی آب/روغن‌گریزی پنبه

مucchomme پارسانش^۱، شهلا شکربریز^{۲*}

۱ دانشجوی دکتری، دانشکده مهندسی پلیمر و رنگ، دانشگاه صنعتی امیرکبیر، تهران، ایران

۲ استادیار، پژوهشکده رنگ و پلیمر، دانشگاه صنعتی امیرکبیر، تهران، ایران



تاریخ دریافت:

۹۷/۱۰/۲۳

تاریخ پذیرش:

۹۷/۱۲/۲۷

در این مقاله به بررسی اثر اعمال هم‌زمان و غیر هم‌زمان عوامل اتصال دهنده عرضی دی متیول اتیلن اوره (DMDHEU) و ترکیب بر پایه پلی یورتان CERESOL CPN و ترکیب آب/روغن‌گریز کننده بر پایه فلوئوروکربن FOBUGARD AF300 روی آب‌گریزی، روغن‌گریزی پارچه پنبه‌ای پرداختیم. و سپس تأثیر ذرات سیلیکا روی آب‌گریزی، روغن‌گریزی و ثبات شستشویی پارچه پنبه‌ای مورد بررسی قرار گرفت. ذرات سیلیکا با استفاده از TEOS(Tetraethyl orthosilicate)، اتانول و هیدروکسید آمونیوم که به عنوان کاتالیزور برای کنترل اندازه ذرات مورد استفاده قرار می‌گیرد، سنتز شده و روی نمونه اعمال گردید. ذرات سیلیکا هیدروفیل، از طریق افزایش زبری سطح می‌توانند موجب بهبود آب‌گریزی و روغن‌گریزی شوند. آب‌گریزی و روغن‌گریزی نمونه‌ها اندازه‌گیری شد. نمونه حاوی ۶٪ عامل اتصال دهنده عرضی پلی یورتانی و ۸٪ ترکیب فلوئوروکربن FOBUGARD AF300 دارای مقادیر آب‌گریزی ۹٪ و روغن‌گریزی ۶٪ بود. همچنین، از آنالیزهای سطح، EDS FESEM برای شناسایی مورفولوژی سطح، آنالیز عنصری، توزیع و اندازه ذرات سیلیکا در سطح پارچه اصلاح شده استفاده گردید. اعمال غیر هم‌زمان عوامل شبکه‌ای کننده و فلوئوروکربن موجب بهبود آب‌گریزی و روغن‌گریزی گردید. همچنین، ذرات سیلیکا موجب بهبود ثبات شستشویی اصلاحات صورت گرفته، شدند. به طوری که پس از ۵ سیکل شستشو و عملیات حرارتی برای نمونه حاوی ۱٪ ذرات سیلیکا اسنتز شده اعداد ۶ و ۹ به ترتیب برای روغن‌گریزی و آب‌گریزی به دست آمد.

فلوئوروکربن، ذرات سیلیکا، آب‌گریزی، روغن‌گریزی،
پلی یورتان

واژگان کلیدی

(۱) مقدمه

سطح آب‌گریز ایجاد کرد. نانو ذرات سیلیکا می‌توانند زبری سطح پارچه را افزایش داده و درنتیجه موجب افزایش زاویه تماس آب و بهبود آب‌گریزی شوند [۲۵].

پلی کربوکسیلیک اسیدها یکی از مهم‌ترین ترکیبات فاقد فرمالدئید برای تکمیل منسوجات هستند [۲۶]. ایجاد اتصال عرضی در پنبه با استفاده از پلی کربوکسیلیک اسیدها برای اولین بار توسط Row-land و همکارانش در سال ۱۹۸۸ منتشر شد [۲۷]. همچنین استفاده از (BTCA) 4-butanetetracarboxylic acid, 3,2,1 (BTCA) برای مقاوم کردن پنبه در برابر چروک گزارش کرد [۲۸]. علاوه بر این، امروزه به دنبال جایگزینی مواد شیمیایی بر پایه فرمالدئید با ترکیبات فاقد فرمالدئید نظری پلی کربوکسیلیک اسیدها و پلی یورتان‌ها هستند. در سال ۱۹۹۴ Sato و همکارانش پارچه سلولزی اصلاح شده با رزین فلوئوروکربن و عامل اتصال دهنده عرضی را شسته و در ادامه تحت عملیات حرارتی قراردادند. آن‌ها دریافتند آب‌گریزی پارچه پنبه‌ای با استفاده از رزین حاوی عامل اتصال دهنده عرضی کنترل می‌گردد [۱۷]. در سال ۲۰۰۱ Xiu و همکارانش تأثیر عامل اتصال دهنده عرضی را بر ثبات شستشویی پارچه آب‌گریز اصلاح شده با رزین BTCA فلوئوروکربن بررسی کردند [۲۹]. در سال ۲۰۰۹ Bae و همکارانش با استفاده از ذرات نانو سیلیکا و یک ترکیب آب‌گریز کننده که دارای گروه‌های فلوئورینه بود پارچه پنبه‌ای را اصلاح کردند [۳۰]. در سال ۲۰۱۲ گشتی و همکارانش پارچه پنبه‌ای آب‌گریز تهیه شده با استفاده از BTCA و نانو ذرات سیلیکا را تولید کردند [۳۰]. در سال ۲۰۱۲ Mohsin و همکارانش به منظور افزایش ثبات شستشویی پوشش فلوئوروکربن بر پایه پلیمر اکریلات روی پارچه پنبه‌ای از سیتریک اسید به عنوان یک عامل اتصال دهنده عرضی فاقد فرمالدئید استفاده کردند [۹]. در سال ۲۰۱۵ Roe و همکارانش با استفاده از مخلوطی از سیلان‌ها و ذرات نانو سیلیکا سطح پارچه پنبه‌ای را اصلاح کردند و به پارچه‌ای با خواص آب‌گریزی خوب با زاویه تماس ۱۳۹,۱ درجه پایداری بالا (%۹۵) بازگشت زاویه تماس پس از شستشو (DST) یافتند. آن‌ها دریافتند شبکه‌ای کننده‌های سیلانی به علت تشکیل شبکه سه‌بعدی موجب افزایش پایداری آب‌گریزی پارچه پنبه‌ای می‌گردد [۳۱].

در این مقاله هدف بررسی تأثیر اعمال همزمان و غیر همزمان عامل اتصال دهنده عرضی و ترکیب فلوئوروکربن روی آب‌گریزی و روغن‌گریزی پارچه پنبه‌ای است. همچنین ذرات سیلیکای سنتزی به منظور افزایش آب‌گریزی، روغن‌گریزی و ثبات شستشویی اصلاحات انجام شده (عامل اتصال دهنده عرضی و ترکیب فلوئوروکربنی) مورد بررسی قرار گرفتند.

(۱) مواد

(۲) بخش تجربی

در این پژوهش از پارچه پنبه‌ای سفید از نوع تاروپودی دارای تراکم

پنبه یکی از رایج‌ترین الیاف سلولزی است. الیاف پنبه به دلیل جذب راحت رطوبت و راحت بودن به عنوان پوشش (لباس) از جمله مهم‌ترین پوشش‌ک در صنعت محسوب می‌شوند. با وجود مزایای فراوان، این الیاف دارای معایبی از جمله چروک پذیری در حین عملیات استفاده و مراقبت (مانند شستشو) می‌باشند [۱]. جذب آب در طول شستشو باعث حرکت در زنجیر مولکولی سلولز در مناطق واسطه و آمورف (غیر کریستالی) می‌گردد، و آرایش جدید مولکول‌های سلولز توسط نیتروهای هیدروژنی بین گروه‌های هیدروژنی مجاور تشییت می‌شود [۲]. اصلاح شیمیایی پنبه به منظور افزایش مقاومت در برابر چین و چروک و افزایش پایداری آن موردنرسی قرار گرفته است. جلوگیری از حرکت زنجیرها از طریق شبکه‌ای کردن آن‌ها با رزین یا پلیمر یکی از روش‌های رایج است [۳]. عوامل اتصال دهنده عرضی عموماً به دو گروه اصلی تقسیم می‌شوند: مواد شیمیایی بر پایه فرمالدئید و ترکیبات فاقد فرمالدئید [۴]. گروه اول به دلیل آزاد کردن فرمالدئید سمی بوده و برای محیط‌زیست مضر می‌باشد بنابراین گروه دوم که شامل پلی کربوکسیلیک اسیدها [۷-۵]، پلی یورتان‌ها [۸] و غیره می‌باشد امروزه بیشتر موردنوجه قرار گرفته‌اند.

خاصیت آب‌گریزی یکی از مهم‌ترین ویژگی‌های پارچه‌های با کاربرد خاص است [۹]. با الهام گرفتن از سطوح برگ گیاهان و اندام حیوانات سطوح آب‌گریز طراحی شدند [۱۳-۱۰]. انواع مواد شیمیایی برای دست یافتن به خاصیت ابر آب‌گریزی مورداستفاده قرار می‌گیرد، که شامل ترکیبات آلومنیوم و زیرکونیوم [۱۴]، واکسن پارافین [۱۵]، ترکیبات سیلیکون [۱۶] و رزین فلوئوروکربن [۱۷] است. مواد شیمیایی فلوئورینه به دلیل داشتن انرژی سطحی پایین تر از مواد آب‌گریز سیلیکونی، هر دو خاصیت آب‌گریزی و روغن‌گریزی را ایجاد می‌کنند. پایداری شیمیایی بسیار عالی همراه با کشش سطحی کم موجب عملکرد بهتر اصلاحات انجام گرفته با مواد فلوئورینه نسبت به دیگر مواد دافع روغن و آب می‌گردد [۹]. نسبت اتمی فلوئور به کربن یک فاکتور کلیدی در کنترل آب‌گریزی است [۱۸]. هرچه نسبت فلوئور به کربن افزایش یابد انرژی سطحی کاهش یافته و زاویه تماس آب بزرگ‌تری را به دست می‌دهد. همچنین چگالی فشرده‌گی این دو قسمت (فلوئور و کربن) فاکتور دیگری است که بر انرژی سطحی و پایداری آن تأثیر می‌گذارد [۱۹]. سطوحی با زاویه تماس آب بزرگ‌تر از ۱۵۰ درجه را ابر آب‌گریز می‌نامند. برای دست یافتن به این سطوح انرژی سطحی و زبری سطح دو فاکتور کنترل کننده هستند [۲۰، ۲۱]. سیلیکا یکی از پرکاربردترین مواد معدنی مورداستفاده در زمینه‌های مختلف نظیر پوشش، منسوجات [۲۲]، کاتالیست‌ها [۲۳]، نانو کامپوزیت‌ها [۲۴] و غیره است. این نانو ذرات با اندازه ذرات بسیار کوچک و سطح بزرگ معمولاً به خاطر حضور گروه‌های هیدروکسیل در سطح خود آبدوست هستند، بنابراین از طریق پوشاندن آن‌ها با یک رزین با انرژی سطحی پایین مانند فلوئوروکربن‌ها می‌توان یک

هم خورد تا ذرات SiO_2 طبق واکنش‌های شکل ۱ سنتز شوند.

(۳)۲(۲) اعمال به روش pad-dry-cure

درروش همزمان ترکیب درصدهای مختلف از عوامل اتصال دهنده (DMDHEU) ۶٪ و ۹٪ درصد CPN ۸٪ و ۱۰٪ درصد (FOBUGARD AF300 ۸٪) در یک محلول آماده شده و طی یک مرحله روی پارچه اعمال شدند. نمونه‌ها پس از ۳ دقیقه غوطه‌وری در محلول موردنظر با برداشت خیس %۹۰ با استفاده از دستگاه فولاد مدل E.Benz Zurich پد شدند. پارچه‌های پد شده به مدت ۳ دقیقه در دمای ۱۲۰ درجه سانتی‌گراد خشک شده و به مدت ۱.۵ دقیقه در دمای ۱۷۰ درجه سانتی‌گراد پخت شدند. برای تهییه محلول‌ها از آب دیونیزه استفاده شد. درحالی که درروش غیر همزمان ابتدا محلول حاوی عامل اتصال دهنده عرضی روی پارچه اعمال شده و خشک و پخت گردید و در مرحله دوم محلول حاوی ترکیب فلوئوروکربنی روی پارچه پد شده و خشک و پخت گردید. در مرحله دوم ذرات سیلیکای سنتز شده به صورت دیسپرس در محلول مورداستفاده قرار گرفتند. بدین منظور محلول‌هایی با ترکیب ۸٪ وزنی فلوئوروکربن و ۱٪ درصد وزنی ذرات سیلیکا تهییه گردید، روی نمونه‌ها پد شد و در دماها و زمان‌های یادشده در بالا خشک و پخت گردید.

(۴)۲(۲) اندازه‌گیری زاویه برگشت‌پذیری چروک

زاویه برگشت‌پذیری چروک نمونه‌ها طبق استاندارد ASTM D123 و Shirley با استفاده از دستگاه اندازه‌گیری زاویه برگشت‌پذیری چروک اندازه‌گیری شد.

تارویودی به ترتیب yarn/cm^2 ۲۶ و ۲۳ و جرم توده معادل g/m^2 ۱۳۰ استفاده شده است. در مراحل تحقیق نیز از عوامل اتصال دهنده عرضی دی متیلول اتیلن اوره DMDHEU، رزین بر پایه پلی‌بورتان پایه آبی (CERESOL CPN) تهییش شده از شرکت Dye Star، اسید استیک (Merck) برای تنظیم pH و آب مقطور برای رقیق کردن، FOBU (GARD AF300) تهییش شده از شرکت Dye Star به عنوان ترکیب دافع آب و روغن استفاده شد. درنهایت، از ذرات سنتز شده با استفاده از TEOS (Tetraethyl orthosilicate) آمونیوم که به عنوان کاتالیزور برای کنترل اندازه ذرات مورداستفاده قرار می‌گیرد و همگی از شرکت Merck خریداری شده‌اند، استفاده گردید. ایزوپروپیل الکل مورداستفاده در آزمون آب‌گریزی و روغن‌های مورد استفاده در آزمون روغن‌گریزی نیز از شرکت Merck تهییه شدند.

(۲)۲(۲) روش کار

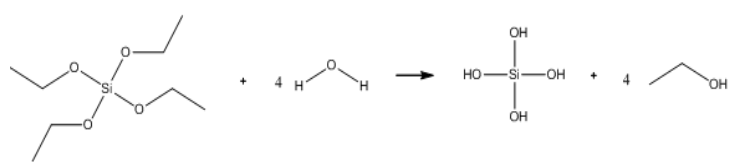
(۱)۲(۲) آماده‌سازی پارچه پنبه‌ای

پارچه‌ها ابتدا در ابعاد A4 برش داده شدند و سپس با شوینده غیر یونی ۱٪ و نسبت حجم حمام به کالای ۱۵:۱ و اعمال حرارت و هم زدن در دمای ۵۰ درجه سانتی‌گراد به مدت ۱۵ دقیقه شسته شدند، سپس توسط آب مقطور آبکشی شده در دمای محیط خشک شدند.

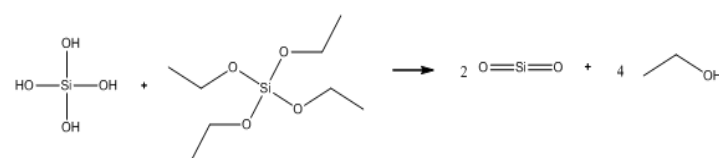
(۲)۲(۲) سنتز ذرات سیلیکا به روش اشتوبر

سنتز ذرات سیلیکا به روش اشتوبر که بر پایه فرآیند سل-ژل است، انجام شد. بدین منظور ۸۱.۱۲ گرم TEOS با ۲۱۶.۲ گرم اتانول، ۵۲.۹۲ گرم آب مقطور و ۱۹.۶۸ گرم آمونیوم هیدروکسید %۳۳ مخلوط شد. مخلوط حاصل به مدت ۲۴ ساعت در دمای ۳۰ درجه سلسیوس

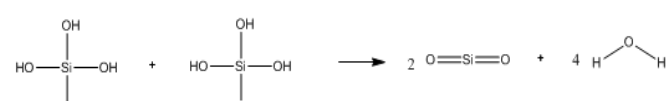
(1) Hydrolysis



(2) Alcohol condensation



(3) Water condensation



شکل ۱: واکنش‌های سل-ژل برای سنتز ذرات سیلیکا [۳۰].

با استفاده از قطرات ۸ مایع استاندارد که شامل ۸ هیدروکربن است. از کشش سطحی بالا به پایین یک قطره روی سطح قرار دهیم و ترکنده‌گی و زاویه تماس آن مشاهده می‌گردد. مایعی که دارای بالاترین شماره است و سطح را تر نمی‌کند به عنوان عدد روغن‌گریزی گزارش می‌شود. جدول ۲ نحوه شماره‌گذاری مایعات استاندارد آزمون روغن‌گریزی را نشان می‌دهد.

(۷)(۲) بررسی ثبات شستشویی

در راستای بررسی پایداری اصلاحات انجام شده روی نمونه‌ها، نمونه‌ها تحت عملیات شستشوی قرار گرفتند. بدین صورت که با استفاده از شوینده غیر یونی 1 g/l و نسبت حجم حمام به کالای ۱:۵۰ و اعمال

جدول ۲: مایعات استاندارد آزمون روغن‌گریزی.

عدد روغن‌گریزی	روغن‌ها
۱	liquid paraffin
۲	65:35 liquid parafin:n-hexadecane
۳	n-hexadecane
۴	n-tetradecane
۵	n-dodecane
۶	n-decane
۷	n-octane
۸	n-heptane

(۲)(۳) آزمون آب‌گریزی (3M)

آب‌گریزی نمونه‌ها با استفاده از آزمون 3M بررسی شد. در این آزمون از ۱۰ ترکیب درصد مختلف آب و ایزوپروپیل الکل به عنوان مایع‌های استاندارد استفاده می‌شود. از کشش سطحی بالا (آب) به پایین (ایزوپروپیل الکل) یک قطره روی سطح قرار می‌دهیم و ترکنده‌گی آن مشاهده می‌گردد. مایعی که دارای بالاترین شماره است و سطح را تر نمی‌کند به عنوان عدد آب‌گریزی گزارش می‌گردد. در جدول ۱ نحوه شماره‌گذاری مایعات استاندارد آزمون آب‌گریزی آورده شده است.

(۲)(۶) آزمون روغن‌گریزی

روغن‌گریزی نمونه‌ها مطابق استاندارد AATCC 118 انجام شد.

جدول ۱: مایعات استاندارد آزمون آب‌گریزی.

درصد آب و ایزوپروپیل الکل	عدد آب‌گریزی	W	آب ۱۰۰٪
۱۰٪ ایزوپروپیل الکل + آب	۹۰٪	۱	۱۰٪
۲۰٪ ایزوپروپیل الکل + آب	۸۰٪	۲	۲۰٪
۳۰٪ ایزوپروپیل الکل + آب	۷۰٪	۳	۳۰٪
۴۰٪ ایزوپروپیل الکل + آب	۶۰٪	۴	۴۰٪
۵۰٪ ایزوپروپیل الکل + آب	۵۰٪	۵	۵۰٪
۶۰٪ ایزوپروپیل الکل + آب	۴۰٪	۶	۶۰٪
۷۰٪ ایزوپروپیل الکل + آب	۳۰٪	۷	۷۰٪
۸۰٪ ایزوپروپیل الکل + آب	۲۰٪	۸	۸۰٪
۹۰٪ ایزوپروپیل الکل + آب	۱۰٪	۹	۹۰٪
۱۰۰٪ ایزوپروپیل الکل		۱۰	۱۰۰٪

جدول ۳: مقایسه اثر اعمال همزمان و غیر همزمان عوامل اتصال‌دهنده عرضی و ۸% FOBUGARD AF ۳۰۰ بر آب‌گریزی و روغن‌گریزی.

جهت تاروپود	برگشت‌پذیری چروک در	نمونه	همزمان			مجموع زاویه	
			غیر همزمان				
			آب‌گریزی	روغن‌گریزی	آب‌گریزی		
۲۴۲		نمونه ۲ (FB-8%)	۶	۹	۶	۹	
۲۲۳		نمونه ۳ (FB-8%)	۶	۹	۶	۱۰	
۲۴۷		نمونه ۴ (FB-8%)	۵	۸	۴	۷	
۱۹۳		نمونه ۵ (CPN-3%-FB-8%)	۵	۹	۶	۹	
۲۳۴		نمونه ۶ (CPN-6%-FB-8%)	۶	۹	۴	۷	
۱۹۲		نمونه ۷ (CPN-9%-FB-8%)	۶	۹	۴	۷	
۱۷۷		نمونه ۸ (CPN-12%-FB-8%)	۶	۹	۴	۷	

dry-cure روی پارچه پنبه‌ای اعمال شدند و آزمون‌های روغن‌گریزی و آب‌گریزی روی آن‌ها انجام شد. نتایج در جدول ۳ آورده شده است. در نمونه‌های حاوی رزین پلی‌یورتانی، نمونه‌های اعمال شده به صورت غیر هم‌زمان نتایج بهتری دارند. در ادامه بهترین درصد هر گروه از عوامل شبکه‌ای کننده انتخاب شد و تأثیر سیکل‌های شستشو بر آن مورد بررسی قرار گرفت. نمونه‌های انتخاب شده عبارت‌اند از: نمونه ۲ و نمونه ۶ عامل اتصال دهنده عرضی DMDHEU زاویه برگشت چروک را بیش از عامل اتصال دهنده عرضی CPN افزایش می‌دهد. با عامل ۶% DMDHEU زاویه برگشت چروک به ۲۴۲ می‌رسد در حالی که اعمال ۶% CPN زاویه برگشت چروک ۲۳۴ درجه به دست می‌دهد. زاویه برگشت چروک برای پنهان اصلاح نشده ۱۸۱ درجه اندازه‌گیری شده است.

استفاده از عوامل اتصال دهنده عرضی علاوه بر افزایش زاویه برگشت چروک موجب بهبود آب‌گریزی و روغن‌گریزی نمونه‌ها می‌گردد. چراکه عوامل اتصال دهنده عرضی از طریق ایجاد پیوند عرضی بین زنجیرهای سلولز و زنجیر سلولز و رزین فلوبوروکربنی موجب افزایش پایداری اصلاحات صورت گرفته می‌شوند [۱۷]. به نظر می‌رسد در روش اعمال هم‌زمان حضور رزین فلوبوروکربنی موجب کاهش اتصالات عرضی در سلولز می‌شود. از طرفی عامل اتصال دهنده عرضی حضور رزین فلوبوروکربنی در سطح نمونه‌ها را کاهش داده

حرارت و هم زدن در دمای ۴۰ درجه سانتی گراد به مدت ۳۰ دقیقه برای هر چرخه شسته شدن، سپس توسط آب مقطر آبکشی شده و درنهایت در دمای محیط خشک شدن.

(۸) آنالیز سطح

به منظور بررسی مورفولوژی سطح و اندازه ذرات از دستگاه میکروسکوپ الکترونی رویشی (SEM) (مدل MIRA3 (TESCAN) استفاده شد. همچنین طیف‌سنجی تفکیک انرژی (EDS) به منظور مقایسه تغییرات درصد محتوای فلوبور و ذرات سیلیکا روی سطح پارچه اصلاح شده قبل و بعد از شستشو و عملیات حرارتی مورد استفاده قرار گرفت.

(۳) نتایج و بحث

درصد بهینه فلوبوروکربن ۰۰ FOBUGARD AF300 روی پارچه پنهانی پس از اعمال درصد های مختلف و انجام آزمون های آب‌گریزی و روغن‌گریزی %۸ به دست آمد [۳۲].

(۱) مقایسه اثر اعمال هم‌زمان و غیر هم‌زمان عوامل اتصال دهنده عرضی و فلوبوروکربن

عوامل اتصال دهنده عرضی DMDHEU و رزین بر پایه پلی‌یورتان CERESOL CPN به صورت هم‌زمان و غیر هم‌زمان به روش pad-

جدول ۴: تأثیر سیکل‌های شستشو و عملیات حرارتی بر آب‌گریزی و روغن‌گریزی نمونه‌ها.

نمونه	تعداد سیکل									
	آب‌گریزی بعد از × سیکل					روغن‌گریزی بعد از × سیکل				
	نمونه ۱	نمونه ۲	نمونه ۶	نمونه ۹	نمونه ۱۰	نمونه ۱	نمونه ۲	نمونه ۶	نمونه ۹	نمونه ۱۰
نمونه ۱ (FB-8%)	۷	۶	۹	۹	۰	۰	۵	۱	۲	۷
نمونه ۲ (DMDHEU-6%-FB-8%)	۵	۵	۶	۸	۰	۰	۱	۱	۱	۳
نمونه ۶ (CPN-6%-FB-8%)	۲	۳	۵	۶	۰	۰	۱	۲	۲	۳

جدول ۵: تأثیر ذرات سیلیکا بر آب‌گریزی و روغن‌گریزی نمونه‌ها.

نمونه	تعداد آب‌گریزی		تعداد روغن‌گریزی
نمونه ۱ (FB-8%)	۹	۶	
نمونه ۹ (FB-8%-Si-1%)	۱۰	۷	
نمونه ۱۰ (FB-8%-Si-2%)	۷	۵	
نمونه ۶ (CPN-6%-FB-8%)	۹	۶	
نمونه ۱۱ (CPN-6%-FB-8%-Si-1%)	۱۰	۷	
نمونه ۱۲ (CPN-6%-FB-8%-Si-2%)	۸	۵	
نمونه ۲ (DMDHEU-6%-FB-8%)	۹	۶	
نمونه ۱۳ (DMDHEU-6%-FB-8%-Si-1%)	۹	۷	
نمونه ۱۴ (DMDHEU-6%-FB-8%-Si-2%)	۸	۶	

است. در بین نمونه‌های اصلاح شده نمونه حاوی اتصال دهنده عرضی CPN و DMDHEU عملکرد قابل قبولی در آب‌گریزی قبل و بعد از عملیات حرارتی داشته‌اند.

اساساً نظر به اینکه الیاف سلولزی در آب متورم می‌شوند، قسمت‌هایی از زنجیر سلولزی در طی شستشو آزادانه حرکت می‌کنند. در زنجیرهای سلولزی تکمیل شده با فلوئوروکربن، زنجیرهای فلوئور به دلیل کشش سطحی پایین فلوئور تمایل دارند در طی شستشو از سطح الیاف به سمت داخل الیاف چرخش کنند تا در شرایط محیط شستشو قرار نگیرند [۳۳]. بنابراین، خاصیت آب‌گریزی آن‌ها کاهش می‌یابد. از طرفی در پارچه‌هایی که با عوامل ضد چروک (اتصال دهنده عرضی) و فلوئوروکربن تکمیل می‌شوند، در بسیاری از موارد پیوند و اتصالات ایجاد شده، در هنگام شستشو مانع از چرخش فلوئوروکربن از سطح الیاف به داخل الیاف شده و درنتیجه موجب بهبود آب‌گریزی می‌گردد. DMDHEU با ایجاد اتصالات اتری با سلولز پنبه و CPN با ایجاد فیلم پوششی روی الیاف مانع چرخش کامل فلوئوروکربن از سطح می‌شوند.

(۳) تأثیر ذرات سیلیکا بر آب‌گریزی و روغن‌گریزی
به منظور دست‌یابی به اثر لتوس به ناهمواری‌های میکرو/نانو که با مواد هیدروفوبیک پوشانده می‌شوند نیاز است. بدین منظور برای ایجاد ناهمواری از ذرات سیلیکا استفاده شد. سیلیکا یک ماده هیدروفوب نیست بلکه گروه‌های هیدروکسیل فراوان روی سطح آن قرار دارد. بنابراین لازم است که سطح ذرات سیلیکا با مواد هیدروفوب پوشیده شود. مقالات زیادی وجود دارند که از سیلان‌های فلوئور دار شده یا آلکیل دار شده برای هیدروفوب کردن سیلیکا استفاده کرده‌اند

و موجب کاهش خاصیت آب‌گریزی و روغن‌گریزی نمونه‌ها می‌گردد. در حالی که در روش غیر همزمان عامل اتصال دهنده عرضی بهتر می‌تواند به عنوان واسطه بین رزین فلوئوروکربنی و سلولز عمل کرده، رزین فلوئوروکربنی روی سطح خارجی نمونه‌ها قرار می‌گیرد و موجب بهبود آب‌گریزی و روغن‌گریزی می‌گردد. از سوی دیگر، نتایج آزمون استرس-کشش در نقطه پارگی برای نمونه‌های اصلاح شده با عوامل اتصال دهنده عرضی نشان می‌دهد که استحکام نمونه حاوی DM-DHEU نسبت به نمونه پنبه خام کاهش یافته که این مهم به دلیل ایجاد اتصالات عرضی است، در حالی که برای نمونه حاوی CPN استحکام نسبت به نمونه خام تغییر چندانی نکرده است و به نظر می‌رسد CPN روی سطح الیاف یک فیلم الاستیک تشکیل می‌دهد [۳۲].

(۲۳) بررسی ثبات شستشو و شوی

در راستای بررسی پایداری اصلاحات انجام‌شده، نمونه‌ها تحت عملیات شستشو و حرارتی قرار گرفتند و پس از یک، سه و پنج بار شستشو آب‌گریزی و روغن‌گریزی آن‌ها اندازه‌گیری شد. نتایج در جدول ۴ گزارش شده است. با توجه به نتایج بدست‌آمده در جدول ۴، آب‌گریزی و روغن‌گریزی نمونه‌های اصلاح شده با فلوئوروکربن حتی پس از ۵ بار شستشو و عملیات حرارتی به طور کامل بازیابی شده است. همچنین در بین نمونه‌های حاوی عامل اتصال دهنده عرضی پلی‌بورتانی نمونه ۶ عملکرد بهتری داشت. به طور کلی اثر شستشو باعث کاهش آب‌گریزی و روغن‌گریزی نمونه شاهد و نمونه‌های اصلاح شده می‌گردد. به طوری که روغن‌گریزی به طور کامل از بین رفته و با عملیات حرارتی روغن‌گریزی و آب‌گریزی بازیابی شده

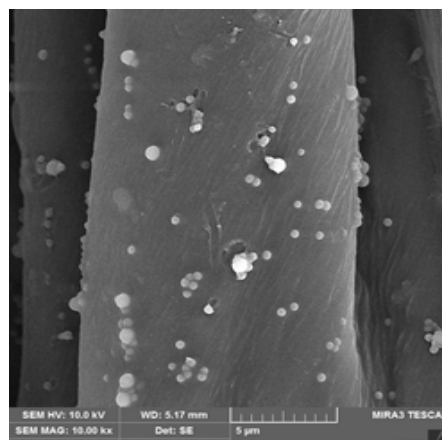
جدول ۶: تأثیر سیکل‌های شستشو و عملیات حرارتی بر آب‌گریزی و روغن‌گریزی نمونه‌های حاوی ذرات سیلیکا.

تمویله	تعداد سیکل												
	آب‌گریزی بعد از X سیکل	روغن‌گریزی بعد از X سیکل	آب‌گریزی بعد از X سیکل	روغن‌گریزی بعد از X سیکل	سیکل شستشو و شستشو								
نمونه ۱ (۸%)	۶	۶	۶	۹	۹	۹	۰	۰	۵	۱	۲	۷	FB-(۱)
نمونه ۲ (۸%-Si-1%)	۶	۶	۶	۹	۱۰	۱۰	۰	۱	۴	۱	۳	۶	
نمونه ۳ (۸%-Si-2%)	۴	۴	۵	۶	۶	۷	۰	۰	۴	۰	۱	۶	
نمونه ۴ (۵%-FB-8%)	۲	۲	۵	۸	۸	۸	۰	۰	۱	۲	۲	۳	
نمونه ۵ (۶%-FB-8%-Si-1%)	۶	۶	۶	۹	۹	۱۰	۱	۱	۴	۲	۲	۶	
نمونه ۶ (۶%-FB-8%-Si-2%)	۶	۶	۶	۵	۵	۶	۰	۱	۲	۱	۳	۵	
نمونه ۷ (۶%-FB-8%)	۵	۵	۶	۸	۸	۹	۰	۰	۱	۱	۱	۳	
نمونه ۸ (۶%-FB-8%-Si-1%)	۶	۶	۶	۹	۹	۹	۰	۱	۴	۲	۳	۶	
نمونه ۹ (۶%-FB-8%-Si-2%)	۵	۵	۵	۷	۷	۷	۰	۰	۳	۰	۲	۵	

پس از اعمال ذرات سیلیکا نمونه‌ها تحت عملیات شستشو قرار گرفتند تا مقاومت اصلاحات انجام شده روی سطح پارچه در مقابل شستشو بررسی گردد. نتایج آب‌گریزی و روغن‌گریزی نمونه‌ها پس از یک، سه و پنج بار شستشو و عملیات حرارتی در جدول ۶ آورده شده است. دوام در برابر شستشوی پارچه‌های تکمیل شده یک پارامتر مهم به منظور مشخص کردن تأثیر تکمیل است. نمونه‌های دارای ۱٪ سیلیکا پایداری بیشتری در مقابل شستشو داشته و پس از عملیات حرارتی در این نمونه‌ها خواص آب/روغن‌گریزی تا حدود زیادی بازیابی می‌گردد. با توجه به داده‌های جدول ۶ دو نمونه ۱۱ و ۱۳ بهترین عملکرد را داشته‌اند به طوری که پس از عملیات حرارتی آب‌گریزی و روغن‌گریزی نمونه‌های یادشده به طور کامل بازیابی شده است.

با استفاده از تصاویر SEM سایز تقریبی ذرات سیلیکای سنتز شده در حدود ۲۴۰ تا ۵۸۰ نانومتر اندازه‌گیری شد. همچنین این ذرات کاملاً کروی بودند (شکل ۲). شکل ۳ نشان می‌دهد که ذرات سیلیکا به خوبی پخش شده‌اند و فولکولاسیون ذرات به ندرت مشاهده می‌شود که علت آن استفاده مستقیم از محلول سنتز شده ذرات سیلیکا روی پارچه پنبه‌ای است.

درصد وزنی عناصر در سطح نمونه‌ها قبل و بعد از ۳ بار شستشو

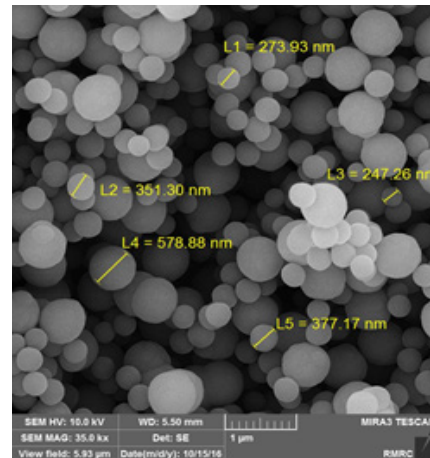


شکل ۳: تصویر SEM از سطح پارچه اصلاح شده با ذرات سیلیکای سنتز شده.

[۳۱]، اما به علت گرانی کاربرد صنعتی نداشتند. در این مقاله از فلوئوروکربن تجاری (FOBUGARD AF 300) استفاده شده است تا با کاهش کشش سطحی پارچه حاوی ذرات سیلیکا، سطح آن آب‌گریز گردد. بهمنظور اعمال ذرات سیلیکا روی نمونه‌ها آن‌هایی که پایداری بیشتری در برابر شستشو داشتند انتخاب شدند. آب‌گریزی و روغن‌گریزی نمونه‌ها پس از اعمال ذرات سیلیکا اندازه‌گیری شد. نتایج در جدول ۵ قابل مشاهده است.

طبق نتایج به دست آمده پس از اعمال ذرات سیلیکا روی نمونه‌ها، نمونه ۱۱ آب‌گریزی و روغن‌گریزی بهتری را نشان می‌دهد. همچنین استفاده از ۱٪ سیلیکا موجب افزایش خاصیت آب/روغن‌گریزی ۱٪ می‌گردد، این مهم به دلیل افزایش زبری سطح پس از اعمال سیلیکا رخ می‌دهد. در حالی که، با افزایش درصد سیلیکا به ۲٪ خاصیت آب/روغن‌گریزی کاهش می‌باید. که احتمالاً به دلیل پرشدن ناهمواری سطح توسط ذرات و کاهش زبری است. این مهم توسط مقالات دیگر تائید شده است [۲۹]. طبق معادله ونzel (معادله ۱) فاکتور زبری (t) که به صورت نسبت سطح واقعی به سطح ظاهری تعریف می‌شود، همیشه بزرگ‌تر از یک است، بنابراین با افزایش زبری سطح زاویه تماس آب روی سطح افزایش می‌یابد و در نتیجه سطح آب‌گریزتر می‌شود [۳۴].

$$\text{Cos}(\Theta') = r \cdot \text{Cos}(\Theta) \quad (1)$$



شکل ۲: تعیین سایز ذرات با استفاده از تصویر SEM.

جدول ۷: درصد وزنی عناصر در سطح نمونه‌ها.

نمونه	عناصر											
	شستشو						درصد وزنی عناصر قبل از شستشو					
	Si	F	O	C	Si	F	O	C	Si	F	O	C
نمونه ۱ (FB-8%)	۱,۱۳	۱,۱۳	۴۰,۳۷	۵۸,۵۰	۰	۰,۶۴	۴۰,۰۶	۵۹,۳۰	۰	۱,۱۵	۳۳,۷۵	۶۵,۱۱
نمونه ۱۱ (CPN-) ۶%-FB-8%-(Si-1%)	۲,۵۱	۲,۵۱	۲۸,۹۹	۶۷,۴۸	۰,۶۱	۱,۴۹	۴۳,۲۸	۵۴,۶۳	۱,۳۸	۲,۴۸	۴۵,۷۴	۵۰,۴۰

۵) مراجع

- [1] W. Schindler and P. Hauser, "Easy-care and durable press finishes of cellulosics," *Chemical finishing of textiles*, pp. 51-72, 2004.
- [2] Y. Lam, C. Kan, and C. Yuen, "Wrinkle-resistant finishing of cotton fabric with BTCA-the effect of co-catalyst," *Textile Research Journal*, vol. 81, no. 5, pp. 482-493, 2011.
- [3] U. K. Sahin, N. C. Gursoy, P. Hauser, and B. Smith, "Optimization of ionic crosslinking process: an alternative to conventional durable press finishing," *Textile Research Journal*, vol. 79, no. 8, pp. 744-752, 2009.
- [4] V. A. Dehabadi, H.-J. Buschmann, and J. S. Gutmann, "Durable press finishing of cotton fabrics: An overview," *Textile Research Journal*, vol. 83, no. 18, pp. 1974-1995, 2013.
- [5] C. M. Welch, "Formaldehyde-free DP finishing with polycarboxylic acids," *American Dyestuff Reporter*, vol. 83, no. 9, pp. 19-27, 1994.
- [6] W. Xu and T. Shyr, "Applying a nonformaldehyde crosslinking agent to improve the washing durability of fabric water repellency," *Textile Research Journal*, vol. 71, no. 9, pp. 751-754, 2001.
- [7] M. P. Gashti, F. Alimohammadi, and A. Shamei, "Preparation of water-repellent cellulose fibers using a polycarboxylic acid/hydrophobic silica nanocomposite coating," *Surface and Coatings Technology*, vol. 206, no. 14, pp. 3208-3215, 2012.
- [8] L. Yeqiu, H. Jinlian, Z. Yong, and Y. Zhuohong, "Surface modification of cotton fabric by grafting of polyurethane," *Carbohydrate polymers*, vol. 61, no. 3, pp. 276-280, 2005.
- [9] M. Mohsin, C. Carr, and M. Rigout, "Novel one bath application of oil and water repellent finish with environment friendly cross-linker for cotton," *Fibers and Polymers*, vol. 14, no. 5, pp. 724-728, 2013.
- [10] G. Chen, Q. Cong, Y. Feng, and L. Ren, "Study on the wettability and self-cleaning of butterfly wing surfaces," *WIT Transactions on Ecology and the Environment*, vol. 73, 2004.
- [11] J. Genzer and K. Efimenko, "Recent developments in superhydrophobic surfaces and their relevance to marine fouling: a review," *Biofouling*, vol. 22, no. 5, pp. 339-360, 2006.
- [12] Y. T. Cheng, D. Rodak, C. Wong, and C. Hayden, "Effects of micro-and nano-structures on the self-cleaning behaviour of lotus leaves," *Nanotechnology*, vol. 17, no. 5, p. 1359, 2006.
- [13] K. Koch, B. Bhushan, and W. Barthlott, "Multifunctional surface structures of plants: an inspiration for biomimetics," *Progress in Materials science*, vol. 54, no. 2, pp. 137-178, 2009.
- [14] M. Lewin and S. Sello, "Handbook of fiber science and technology: chemical processing of fibers and fabrics, functional finishes, vol. II," Part B, Marcel Decker, NY, pp. 144-210, 1984.
- [15] M. Abo-Shosha, Z. El-Hilw, A. Aly, A. Amr, and A. S. I. E. Nagdy, "Paraffin wax emulsion as water repellent for cotton/polyester blended fabric," *Journal of Industrial Textiles*, vol. 37, no. 4,

و عملیات حرارتی به دست آمده از آنالیز EDS در جدول ۷ آورده شده است.

همان طور که جدول ۷ نشان می‌دهد در نمونه ۱ درصد F از ۱,۱۵٪ به ۰,۶۴٪ پس از ۳ بار شستشو کاهش یافته است و پس از عملیات حرارتی درصد وزنی فلوئور افزایش می‌یابد. در نمونه ۱۱ اثر عامل اتصال‌دهنده عرضی CPN و ذرات سیلیکا باعث شود درصد F از ۱,۱۵٪ به ۰,۴۸٪ افزایش یابد. همچنین پس از ۳ بار شستشو این مقدار F از ۰,۶۴٪ به ۰,۴۹٪ افزایش یافته و پس از عملیات حرارتی میزان F به ۰,۵۱٪ رسیده و درصد وزنی CPN و ذرات سیلیکا همراه با فلوئوروکربن موجب بهبود خواص آب / روغن‌گریزی می‌شود.

۴) نتیجه‌گیری

پارچه پنهایی اصلاح شده از طریق اعمال غیر همزمان عوامل اتصال‌دهنده عرضی و فلوئوروکربن آب‌گریزی و روغن‌گریزی بهتری نسبت به اعمال همزمان به دست داد. پارچه اصلاح شده با رزین پلی‌یورتانی ۶٪ CPN، ترکیب فلوئوروکربنی ۸٪ FB و ذرات سیلیکا Si1٪ دارای بیشترین میزان آب‌گریزی و روغن‌گریزی است. همچنین، افزودن ذرات سیلیکا موجب بهبود دوام اصلاحات در برابر شستشو گردید. گرچه، پس از ۵ بار شستشو میزان آب‌گریزی به طور چشمگیری کاهش پیدا می‌کند ولی با انجام عملیات حرارتی بهاندازه قابل توجهی بازیابی می‌شود که دلیل آن چرخش زنجیرهای جانبی حاوی گروههای فلوئور به داخل پارچه در حین شستشو و بازگشت آن‌ها به بیرون پس از عملیات حرارتی است. نتایج آنالیز EDS نیز مؤید این مهم است. درنهایت به آب‌گریزی ۹٪ و روغن‌گریزی ۶٪ پس از ۵ بار شستشو و عملیات حرارتی دست یافتیم. همچنین، اعمال عامل اتصال‌دهنده عرضی پلی‌یورتانی ۶-CPN موجب افزایش زاویه برگشت‌پذیری چروک تا ۲۳۴ درجه گردید.

Durable Press Finishing Agents: Part I: Catalyst, Additive, and Durability Studies," *Textile Research Journal*, vol. 58, no. 8, pp. 480-486, 1988.

[29] G. Y. Bae, B. G. Min, Y. G. Jeong, S. C. Lee, J. H. Jang, and G. H. Koo, "Superhydrophobicity of cotton fabrics treated with silica nanoparticles and water-repellent agent," *Journal of Colloid and Interface Science*, vol. 337, no. 1, pp. 170-175, 2009.

[30] M. P. G. F. A. A. Shamei, "Preparation of water-repellent cellulose fibers using a polycarboxylic acid/hydrophobic silica nano-composite coating," *Surface & Coating Technology*, vol. 206, pp. 3208-3215, 2012.

[31] B. Roe and X. Zhang, "Durable hydrophobic textile fabric finishing using silica nanoparticles and mixed silanes," *Textile Research Journal*, vol. 79, no. 12, pp. 1115-1122, 2009.

[32] M. Parsamanesh, "Effects of crosslinking agent and silica nanoparticles with fluorocarbon on water and oil repellency properties of cellulosic fabric," MSc Amirkabir University of Technology, 2016.

[33] N. Shakib, A. Khoddami, and A. Ataeian, "AN IMPROVEMENT IN FLUOROCARBON CHAIN REORIENTATION BY REACTIVE DYES," 2011.

[34] R. N. Wenzel, "Resistance of solid surfaces to wetting by water," *Industrial & Engineering Chemistry*, vol. 28, no. 8, pp. 988-994, 1936.

pp. 315-325, 2008.

[16] S. Tragoonwichian, P. Kothary, A. Siriviriyann, A. Edgar, and N. Yanumet, "Silicon-compound coating for preparation of water repellent cotton fabric by admicellar polymerization," *Colloids and Surfaces A: Physicochemical and Engineering Aspects*, vol. 384, no. 1-3, pp. 381-387, 2011.

[17] Y. Sato et al., "Effect of crosslinking agents on water repellency of cotton fabrics treated with fluorocarbon resin," *Textile research journal*, vol. 64, no. 6, pp. 316-320, 1994.

[18] C.-T. Hsieh et al., "Influence of fluorine/carbon atomic ratio on superhydrophobic behavior of carbon nanofiber arrays," *Journal of Vacuum Science & Technology B: Microelectronics and Nanometer Structures Processing, Measurement, and Phenomena*, vol. 24, no. 1, pp. 113-117, 2006.

[19] J. Song and O. J. Rojas, "Approaching super-hydrophobicity from cellulosic materials: A Review," *Nord. Pulp Pap. Res. J.*, vol. 28, no. 2, pp. 216-238, 2013.

[20] Q. Zhu, Q. Gao, Y. Guo, C. Q. Yang, and L. Shen, "Modified silica sol coatings for highly hydrophobic cotton and polyester fabrics using a one-step procedure," *Industrial & Engineering Chemistry Research*, vol. 50, no. 10, pp. 5881-5888, 2011.

[21] H. Zhou, H. Wang, H. Niu, A. Gestos, and T. Lin, "Robust, self-healing superamphiphobic fabrics prepared by two-step coating of fluoro-containing polymer, fluoroalkyl silane, and modified silica nanoparticles," *Advanced Functional Materials*, vol. 23, no. 13, pp. 1664-1670, 2013.

[22] C.-H. Xue, S.-T. Jia, J. Zhang, and L.-Q. Tian, "Superhydrophobic surfaces on cotton textiles by complex coating of silica nanoparticles and hydrophobization," *Thin Solid Films*, vol. 517, no. 16, pp. 4593-4598, 2009.

[23] J. A. Bootsma, M. Entorf, J. Eder, and B. H. Shanks, "Hydrolysis of oligosaccharides from distillers grains using organic-inorganic hybrid mesoporous silica catalysts," *Bioresource technology*, vol. 99, no. 12, pp. 5226-5231, 2008.

[24] K. Fukushima, D. Tabuani, C. Abbate, M. Arena, and P. Rizzarelli, "Preparation, characterization and biodegradation of biopolymer nanocomposites based on fumed silica," *European Polymer Journal*, vol. 47, no. 2, pp. 139-152, 2011.

[25] T. Soeno, K. Inokuchi, and S. Shiratori, "Ultra-water-repellent surface: fabrication of complicated structure of SiO₂ nanoparticles by electrostatic self-assembled films," *Applied Surface Science*, vol. 237, no. 1-4, pp. 539-543, 2004.

[26] C. Welch and B. Andrews, "Ester Crosslinks: A Route to High Performance Non-Formaldehyde Finishing of Cotton, *Textile Chem. Color.* 21 (2), 13-17," 1989.

[27] S. P. Rowland, C. M. Welch, M. A. F. Brannan, and D. M. Gallagher, "Introduction of ester cross links into cotton cellulose by a rapid curing process," ed: Sage Publications Sage CA: Thousand Oaks, CA, 1967.

[28] C. M. Welch, "Tetracarboxylic Acids as Formaldehyde-Free